

異種 金屬間의 熔着磨耗에 關한 研究

辛 玖 教* · 李 友 桓**

A Study on the Depositional Wear between Different Metals

M. K. Shin, W. H. Leigh

Abstract

The Wear becomes the most complicated cause of making various machineries short lives. In the studies by many scholars so far, the accurate and perfect methods to eliminate it completely are not found yet owing to many affected factors.

On this view point of Depositional Wear, the wear test with seven different specimens from the part of frequent usage of which are carbon steel, nickel, copper, aluminum, zinc, lead and tin was attempted to make clear the relation between the wear of different metals and their melting point, crystal structure, sliding speed, load and lattice factors.

The results of this study are summarized as follows;

- 1) Worn amount of each metal is maximum when each metal is same quality.
- 2) The easier becomes the formation of solid solution in the course of friction proceeding, the more it results in worn amount of each metal.
- 3) The same is each metal in crystal structure as well as lattice factor, the more it results in worn amount of each metal.

These results might be of use in designing machineries, selecting materials and operating machineries.

1. 序 論

1.1. 研究의 目的과 背景

機械 各構成部分의 磨耗는 그 機械의 壽命에 絶對的인 影響을 끼치고 있는 것으로 各接觸部分에 있어서의 變位를 일으켜 構成各部의 精密度를 잃게하는 原因이 되어 왔다.

여기에 關해서는 많은 學者들의 實驗結果가 發表되고 있다. 二次大戰 以前까지 F. Robin, J. A. Brinell, Honda Kwotaro, P. A. Heller, William Hardy, Lungmuir 等等 數많은 學者들에 依하면 材料의 磨耗量은 硬度가 큰 金屬일수록 적고, 脆性이 클수록 크고, 브린넬 硬度가 높을수록 적게 나타난다. 또 引張強度가 비슷한

* 正會員, 韓國海洋大學

** 正會員, 東義工業專門大學 機械設計科

것 끼리의 接觸에서 일어나는 磨耗量이 적고 그 機械的 性質의 差異가 클수록 크게 나타나는 等一般的으로 磨耗에 對하여 가지고 있는 概念들이 實驗에 依하여 提示되었다.

그後 二次大戰中 미국의 J. T. Burwell의 報告¹⁾에 依하면 接觸面의 粗度如何가 그 磨耗에 미치는 영향에서 0.1μ 의 粗度와 1μ 의 粗度를 가진 接觸面에 같은 기름을 潤滑材로 使用한 結果는 全然 別個의 摩擦係數를 나타내고 있는 것이 알려졌다.

이 磨耗에 關한 研究는 1939年에서 1944年까지 Melbourn의 Australian Council for Scientific and Industrial Research의 摩擦物理部門에서 研究되어 오다가 그 後 英國의 Cambridge大學에 옮겨져서 P. F. Bowden²⁾의 研究팀에 引繼되어 研究되고 있으며 Melbourn의 S. H. Baslow팀과 步調를 맞추면서 研究가 進行되고 있는 現況이다.

P. F. Bowden과 Hughes들은 摩擦의 機構를 研究하는 課程에서 鋼과 各種 金屬 및 合金을 摩擦시켜서 摩擦力과 接觸點의 溫度測定을 한 結果 摩擦은 接觸點이 붙었다가 미끄러졌다가는 不連續現象이며 分子 表面의 引力에 依한다.³⁾는 結論을 얻었으며 여기서 붙었다가 떨어졌다가 하는 限界는 그 材料의 熔融點이 가장 主要한 因子⁴⁾가 된다고 主張하였다.

本 論文은 機械의 耐性을 높이는데 必要한 要件으로서 材料를 選擇한다는 입장에서 磨耗의 本質을 규명해 보고자 몇개 材料의 物理的 性質이 磨耗에 미치는 影響을 考察하여 接觸時에 일어나는 磨耗를 減少시킬 수 있는 適切한 材料의 選擇, 設計 및 管理에 도움을 주고자 한 것이다.

1.2. 研究의 概要

金屬材料의 磨耗를 일으키는 機構는 機械的破壞, 酸化, 溶着으로 分類해서 생각되며, 磨耗狀況에 影響을 미치는 因子로서 接觸壓力, 미끄럼速度, 磨耗粉末의 性質, 溫度의 影響, 雾露氣의 影響, 接觸面의 狀況, 材料의 硬度, 韌性, 組織, 潤滑材, 腐蝕, 그리고 相對 材料의 性質

等等을 생각할 수 있다.

本 研究는 P. F. Bowden 및 D. Tabor의 說에 따라 于先 第一次로 溶着磨耗의 見地에서 異種 金屬間의 磨耗特性을 다루었다. 溶着磨耗의 見地에서 보면 鋼과 鋼을 서로 磨耗시킬 때의 磨耗現象은 金屬과 非金屬을 서로 摩擦시킬 때와는 달라서 摩擦面의 接觸點에 있어서 金屬이 粘着했다가 다음 瞬間에 그 粘着點이 떨어지면서 磨耗가 일어난다고 생각되어 왔다. 지금 서로 서로 摩擦되고 있는 金屬이 粘着되고 鍛接을 일으킨다고 假定할 때, 兩 金屬間에 融合이 잘 되는 金屬間일수록 磨耗量은 많다고 생각할 수 있다.

여기서 兩 金屬間의 融合條件를 決定 짓는 因子로서는 兩 金屬間의 原子價, 原子濃度, 電氣化學的인 因子 또는 格子常數를 들수 있으나, 이 中에서 格子常數가 重要한 影響을 미친다는 것이 W. Hume-Rothery⁵⁾에 依하여 밝혀진 바 있다. 따라서 格子常數가 비슷한 金屬間은 融合이 잘 이루워 진다.

이로 因해 磨耗量도 많아지리라豫想된다.

2. 磨耗의 理論的 考察

P. F. Bowden은 金屬의 接觸機構를 研究해서 人間이 만들수 있는 表面粗度에는 限度가 있고, 表面粗度는 分子의 크기에 比하면 훨씬 크고 面들이 서로 接觸할때에도 最外部側의 分子부터 接觸하게 될 것이므로 分子의 크기를 單位로 하는 限幾何學의in 平滑面은 얻을 수 없다⁶⁾라고 報告했다.

Fig. 1은 金屬材料의 研磨面을 微視的으로 본 것이며 그 切斷面을 그림으로 表示했다.

Fig. 2는 平滑한 研磨面의 接觸狀態를 그림으로 表示하였으며 (a)는 壓力を 加하기 전 狀態로서 突起部의 最外端에서만 接觸되고 있는 것을 알수 있으며 이 狀態에서 더욱 壓力を 加한 때가 (b)도이며 여기에서 金屬끼리의 真實接觸이 加한 壓力에 比例해서 增大되는 狀態를 알수 있다.

一般的으로 볼수 있는 兩 物體의 巨視的接觸

이 단지 결보기의 接觸이며 이에 對하여 微視的接觸을 真實接觸이라 하며 Table 1에 F.P. Bowden & D. Tabor팀의 實驗結果⁷⁾를 나타낸다.

上述한 微視的接觸點은 真實接觸點이라 불려지면 먼저 이와 같은 部分에서 溶着이 일어난다. 이와 같은 狀態에서 두 面의 相對運動이 일어나면 真實接觸點 근방에서 突起部의 切斷이 일어난다.

Fig. 2(c)에 表示하는 바와 같이 上部物體의 突起部가 切斷되면 上部物體가 磨耗된 것이 된다.

實際의 磨耗는 復雜하나 이와 같은 模型으로서 磨耗를 考察하는 것이 可能하며 이것이 詳하자면 溶着磨耗이다.⁸⁾

이와 같이 溶着磨耗는 真實接觸面에서의 溶着

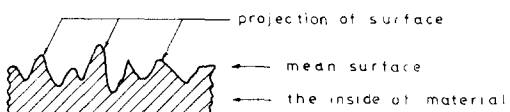
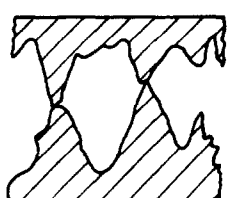


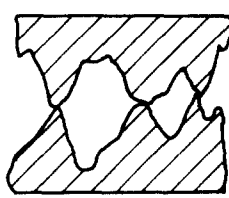
Fig. 1. The unevenness of polishing metal

Table 1. The relation between apparent contact area and real contact area
Apparent contact area between copper plates (21cm^2)

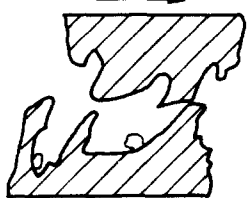
Load (kg)	Real contact area (cm^2)	Ratio between apparent and real contact area
500	0.05	1/400
100	0.01	1/2,000
5	0.0005	1/4,000
2	0.0002	1/100,000



(a) Before pressing



(b) After pressing



(c) Pressed and sliding condition

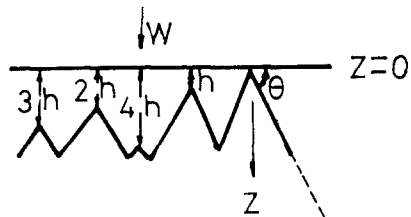


Fig. 3. A flat surface approaching another with conical asperites

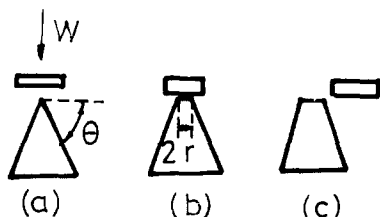


Fig. 4. Schematic representation of a conical asperity being deformed and worn by a flat surface.

(a) flat surface approaching; (b) deformation of the conical asperity; (c) flat surface has slid past the area of contact producing wear debris.

으로 因하여, 한 材料에서 다른 材料로 金屬이 移轉함으로서 發生되는 것이며 이터한 磨耗의 防止法은 相對金屬의 溶着에 의한 結合力을 弱化시켜야 한다.

Fig. 3에서 磨耗斷面이 $Z=0$ 의 位置에서 움직이고, 突起全體의 數를 n , 表面의 硬度가 H 라고 본다. 單純화된 模型圖에서는 突起한개 만이 接触되어 있으며 n 개의 둘기가 모두 磨耗될 때의 거리는 다음과 같다.

$$[r=1, 2, 3, 4, \dots, (n-1)]h$$

磨耗荷重에 의하여 둘기의 上端은 Fig. 4에서 와 같이 평평하여질 것이고 이때의 쪽을 $2r$, 磨

耗된 높이를 h_0 라고 하면 磨耗量은 다음과 같
다.

$$\Delta V = \frac{1}{3} \pi r^2 h_0 \quad (1)$$

$h_0 = r \tan \theta$ 이므로 이것을 식(1)에 대입하면
 $\Delta V = \frac{1}{3} \pi r^2 \tan \theta$ 單位 길이당의 磨耗量은 幅의
길이인 $2r$ 로 나누면

$$\Delta V_0 = \frac{1}{3} \pi r^2 \tan \theta / 2r = \frac{1}{6} \pi r^2 \tan \theta$$

따라서 n 개의 突起에 의한 磨耗量은 다음과 같
다.

$$V = \sum_{r=0}^{n-1} \frac{1}{6} \pi r^2 \tan \theta = \frac{\tan \theta}{6} \sum_{r=0}^{n-1} \pi r^2$$

여기서 $\sum_{r=0}^{n-1} \pi r^2$ 은 真實接觸面積으로서 Ar 로 表示
하고 또 $Ar = W/H$ 로 表示되므로 磨耗距離 S 에

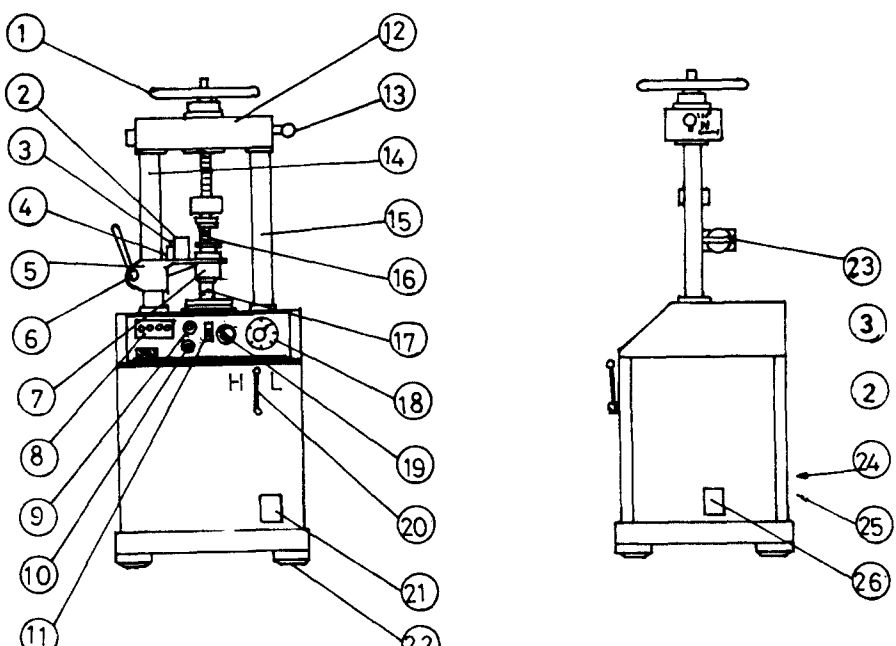
對한 磨耗量은 다음과 같이 된다.

$$V = \frac{1}{6} \frac{\tan \theta}{H} WS \quad (2)$$

3. 實驗裝置 및 試料

磨耗되고 있는 面이 粘着되고 있는 狀態를 直接測定할 수 없으므로 本 實驗에서는 乾式狀態의 磨耗試驗을 하고 磨耗量과 서로 摩擦을 한 金屬間의 結合力과의 關係를 調査했다.

磨耗試驗機는 Fig. 5와 같이 Toyo Baldwin Co., LTD의 Friction Wearing Tester Model EFM-III-Eo이다. 二個의 上, 下 圓筒型試片을 同時에 垂直으로 끼워서 加하는 荷重은 0.2~500 kg의 範圍까지 自由로 하 選定하여 미리 調停해 놓고 Strain gage를 使用한 load detector에 의



- | | | |
|-----------------------------|----------------------------|--------------------------|
| ① Thrust handle | ② Friction force detector | ③ Detector sliding bench |
| ④ Detector fixing knob | ⑤ Torque arm holder | ⑥ Holder fixing handle |
| ⑦ Specimen holder | ⑧ Peripheral speed meter | ⑨ Starting button |
| ⑩ Stop button | ⑪ Speed volume | ⑫ Fixed cross head |
| ⑬ Motor manual change lever | ⑭ Supporting | ⑮ Thrust force detector |
| ⑯ Thrust spring | ⑯ Specimen | ⑯ Timer |
| ⑰ Timer on-off switch | ⑳ Clutch change over lever | ㉑ Power switch door |
| ㉒ Anti-vibration stand | ㉓ Torque arm | ㉔ Input power connector |
| ㉕ Instrument connector | ㉖ SCR controller switch | |

Fig. 5. Schematic diagram of experimental apparatus

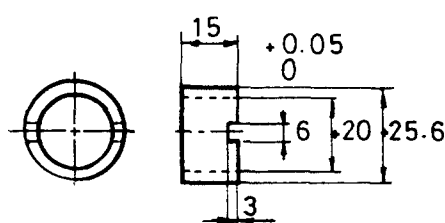


Fig. 6. Specimen size

Table 2. The chemical compositions of specimens

Specimens	Compositions(%)
S45C	Fe 98.577 C 0.45 Si 0.20 Mn 0.75 P 0.008 S 0.015
Ni	Ni 99.99
Cu	Cu 99.99
Al	Al 99.71 Si 0.035 Fe 0.19
Zn	Zn 99.98
Pb	Pb 99.99 Fe 0.01
Sn	Sn 99.98 Pb 0.01 Fe 0.01

Table 3. Annealing condition for specimens

Material	Annealing temperature (°C)	Time(hr)
S45C	650	2
Ni	430	3.5
Cu	260	0.5
Al	180	1.5

Table 4. Crystal structure, lattice factor, Vicker's hardness and melting point of specimens

Specimens	Crystal structure	Lattice factor(A°)	Vicker's hardness	Melting point(°C)
S 45 C	B. C. C	2.8664	105	1520
Ni	F. C. C	3.5238	106	1452
Cu	F. C. C	3.6147	60	1083
Al	F. C. C	4.0496	20	658
Zn	H. C. P	2.6649	45	419
Pb	F. C. C	4.9502	4	315
Sn	B. C. C	5.8315	6	321

거하여荷重을 Chart에서 읽을 수 있도록 되어 있으며 미끄럼速度는 0.2~2000mm/S까지 調整하도록 되어 있다.

試驗片들은 炭素鋼(S45C), 니켈, 銅, 鎳, 錫 그리고 알루미늄으로 하였다. 各種 試驗片들의 尺寸은 Fig. 6과 같다.

各種 試驗片들의 化學成分은 Table 2와 같다. S45C, Ni, Cu, Al等은 Table 3과 같이 热處理⁹⁾하고, Zn, Pb, Sn等은 純度도 좋고 低融點 金屬이므로 热處理를 하지 아니하였다.

試驗할때의 摩擦面은 砂鐵과 研磨紙 2000番을 거친 후 羅紗研磨를 해서 摩擦面의 狀態를 똑같도록 하기 위하여 努力하였다.

實驗에 使用한 材料들의 結晶構造, 格子常數, 溶融點들을 Table 4에 나타낸다.

4. 實驗方法

固體面의 磨耗는 復雜한 過程이며 여러가지의 因子들 때문에 그 磨耗過程의 性質이 매우 달라진다.

그러므로 溶着磨耗의 見地에서 磨耗의 問題를理論的으로 取扱할때는 大膽하게 單純化를 해서 考察함이 좋다¹⁰⁾라는 見解에 따라 本 實驗은 異種金屬間의 磨耗量과 溶融點, 原子의 サイズ(size)因子, 磨耗距離, 그리고 荷重과의 關係를 調査하기 위하여 乾式磨耗試驗을 아래와 같이 實施했다.

磨耗距離는 磨耗試驗機의 積算回轉數를 바꾸므로서 變化시켰다.

荷重은 Fig. 5의 Thrust handle ①을 使用하여 스프링의 張力を 바꾸므로서 變化시켰다. 下部材料는 炭素鋼(S45C), 上부材料에 炭素鋼 니켈, 銅, 錫, 亞鉛, 鉻 그리고 알루미늄 試驗等으로 變化시켰다. 그리고 미끄럼速度는 263mm/S로 荷重 2kg인 狀態에서 3分, 5分, 10分, 15分間 磨耗시킨 다음 磨耗量을 디지털天秤으로 測定하였다.

磨耗量의 測定은 試驗片들을 끼우기 前에 測定하고 試驗後에 磨耗粉末를 털어낸 후 다시 重量을 測定해서 그 重量의 減少에서 磨耗量을 구했다.

荷重變化에 따른 磨耗特性을 考察하기 위하여 荷重만을 3kg로 增加해서 磨耗量과 上述한 因子들과의 關係를 알아보기 위하여 實驗을 했다. 또한 미끄럼速度의 磨耗變化特性을 알기 위하여 미끄럼速度를 1600mm/S, 荷重을 2kg으로 해서 實驗을 했다. 미끄럼速度를 20mm/S, 荷重을 3kg로 했을 때의 磨耗變化特性을 調査했다.

다음에는 같은 面心立方格子의 結晶을 갖는 銅, 알루미늄, 鉻에 對하여 下部材料에 銅, 上부材料에 銅, 알루미늄, 鉻을 使用하여 磨耗距離變化, 荷重變化에 따른 磨耗變化特性을 實驗했다.

같은 方法으로 下부材料에 알루미늄, 上부材料에 알루미늄, 銅, 鉻으로 했을 때의 磨耗距離, 荷重을 變化시켜 磨耗變化特性을 알아보기 위하여 미끄럼速度를 263mm/S, 荷重을 1kg, 2kg, 또 미끄럼速度를 20mm/S, 荷重을 1kg, 2kg으로 해서 實驗을 했다.

本 實驗은 異種 金屬間의 溶着磨耗에서 磨耗量과 磨耗距離, 荷重, 熔融溫度, 結晶構造와의 相關關係를 定性的으로 알고자 함에 끝쳤음.

5. 實驗結果

下部試驗片은 炭素鋼, 銅, 알루미늄으로 하여 이 3種에 대하여 7種의 試驗片을 組合하여 實驗을 했다.

5.1. 下部試驗片을 鋼으로 한 各種 金屬과의 組合에 依한 磨耗

먼저 上下부 試驗片의 미끄럼速度를 263mm/S

로 하여 여기에 Table 2의 各種 金屬試驗片을 2kg의 荷重으로 摩擦시켜서 그 때 생기는 磨耗量을 重量減에서 求했다. Fig. 7은 그 結果이다. 새로軸은 回轉數를, 가로軸은 全磨耗量을 表示한다. 下部의 圖表는 下部試驗 鋼에 나타나는 磨耗量을 各相對 金屬別로 나타낸 것이고 上부 圖表는 上部 各種 試驗片의 磨耗量을 나타낸 것이다. (以下 磨耗量과 回轉數의 關係는 아래한 方法으로 나타낸다)

各種 金屬과의 摩擦에서 나타난 鋼의 磨耗量을 보면 各種 金屬의 種類에 따라서 明確한 差異를 나타냈다. 下部試驗片 即 鋼의 磨耗量은 相對接觸面이 같은 鋼일 때 磨耗量이 가장 大고 다른 金屬일 때가 적게 나타나며 니켈, 鉻, 주석, 알루미늄, 鉻 그리고 아연의 順序로 磨耗量이 적

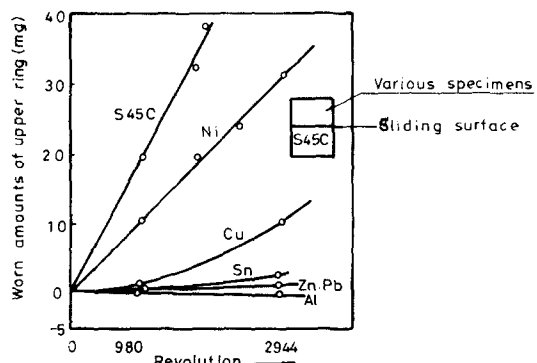


Fig. 7.(A) Worn amounts of various upper rings at load 2kg with sliding speed 263 mm/s

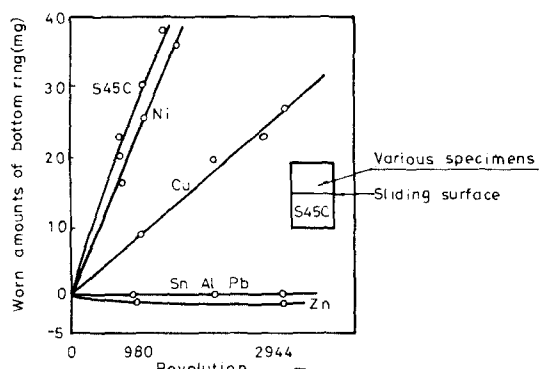


Fig. 7.(B) Worn amounts of bottom rings contacting with various upper rings at load 2kg with sliding speed 263mm/s

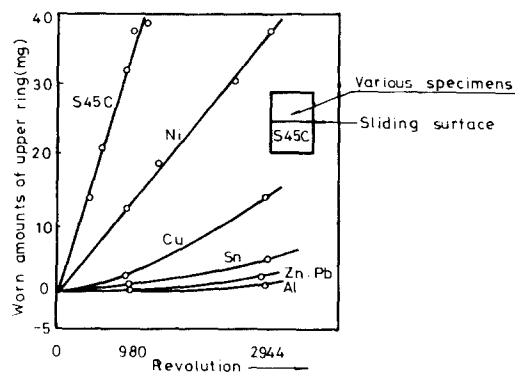


Fig. 8.(A) Worn amounts of various upper rings at load 3kg with sliding speed 263 mm/s

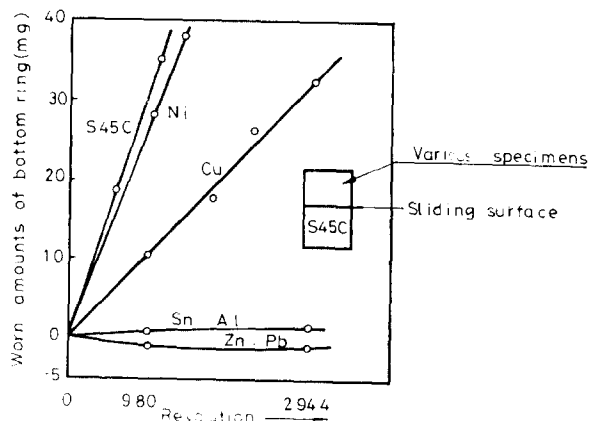


Fig. 8.(B) Worn amounts of bottom rings contacting with various upper rings at load 3kg with sliding speed 263mm/s

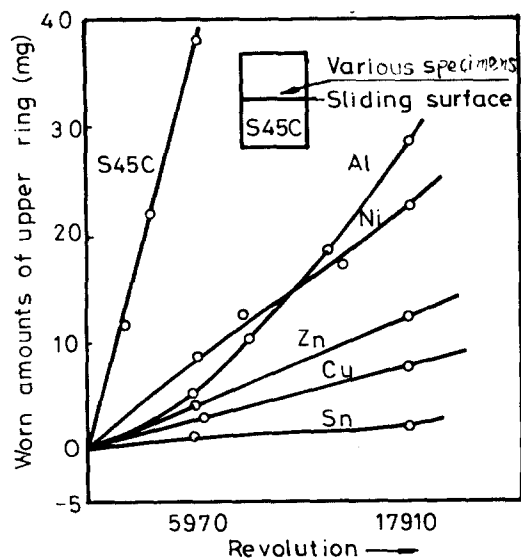


Fig. 9.(A) Worn amounts of various upper rings at load 2kg with sliding speed 1600 mm/s

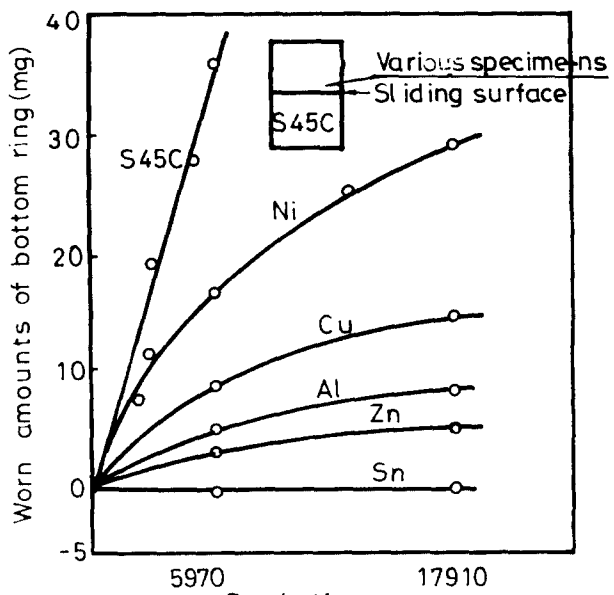


Fig. 9.(B) Worn amounts of bottom rings contacting with various upper rings at load 2kg with sliding speed 1600mm/s

어진다. 또 上部試驗片의 磨耗量은 강, 닉켈, 동, 주석, 아연, 납 그리고 알미늄의 順序로 적어진다.

上部試驗片이 아연일 때는 少量만 磨耗되었으나 下부의 銅試驗片은 重量減少가 負로 나타나 아연이 溶着된 것으로 추측된다.

Sn, Pb 및 Al 즉 上部試驗片은 摩擦에 依하여若干量 磨耗되었으나 이 때의 下部試驗片인 鋼을 上部試驗片이 亞鉛일 경우와 같이 溶着하지 않

고 磨耗도 하지 아니했다. 여기에서 鋼材料와 亞鉛材料가 쉽게 溶着하는 現象은 첫째로 溶融溫度에서 오는 것과 둘째로 格子構造에서 오는 것을 고려할 수 있다. 溶融溫度面에서 볼 때 Zn은 Sn, Pb 보다는 높고, Ni, Cu, Al 보다는 낮으므로 鋼과의 相關係係를 나타내는 因子로 볼 수는 없다. 그러나 格子常數는 鋼의 2.8664Å에 대해서 Zn이 2.6649Å, Al이 4.0496Å, Pb가 4.9502Å 그리고 Sn이 5.8315Å이 되어 가장 近似한 값

을 가진 Zn과의 溶着現象이 수반되는 것이 아닌가 생각된다.

다음에는 같은 條件으로 荷重을 3kg로 增加하여 實驗을 했다. 結果는 Fig. 8과 같이 磨耗量이 많아질 뿐이고 傾向은 荷重이 2kg때와 비슷하다.

다음에는 下部試驗片을 鋼으로 上부試驗片을 S45C, Ni, Cu, Al, Zn 그리고 Sn로 하고 미끄럼速度를 1600mm/S로 增加시키고 荷重을 2kg으로 해서 實驗을 했다.

結果는 Fig. 9와 같고 下部試驗片 鋼의 磨耗量의 大小는 S45C, Ni, Cu, Al, Zn, 그리고 Sn의 順序이고, Pb는 回轉數가 올라감에 따라 發熱때문에 測定이 困難하였다.

上部試驗片인 各種金屬의 磨耗量을 보면 回轉數가 約 12000回轉 以內에서는 磨耗量의 大小順序가 S45C, Ni, Al, Zn, Cu, 그리고 Sn이며 回轉數가 約 12000回轉을 超過時에는 Al, Ni의 順序가 뒤바뀌고 있는데 速度가 빠를수록 摩擦熱이 積蓄되어 溫度가 上昇하므로 Ni의 溶融點이 1452°C이고 Al의 溶融點이 658°C이기 때문에 鍛接되었다가 떨어져 나갈때의 抗力의 差異때문이 아닌가 推測됨.

그러므로 앞서한 두 實驗과 비슷한 傾向을 나타내고 있다고 생각할 수 있다.

다음에는 摩擦速度가 빠른 20mm/S로 實驗을 했다.

實驗結果는 Fig. 10과 같다. 上部試驗片들의 磨耗量의 大小順序는 S45C, Ni, Zn, Cu, Al, Pb, 그리고 Sn의 順序이고 下部試驗片 鋼의 磨耗順序는 S45C, Ni, Cu, Sn이고 Al, Pb, Zn의 重量減少는 負로 나타났다.

以上의 結果를 보면 摩擦速度, 荷重에 關係없이 恒常 上部試驗片이 鋼이고 下部試驗片이 鋼 일때의 磨耗量이 다른 어떤 組合때의 磨耗量보다도 가장 많고 다음이 上部試驗片이 낙천 일때의 下部 鋼試驗片의 磨耗量이고, 그다음이 上부試驗片이 鋼일때의 下部試驗片 鋼의 磨耗量이다.

Fig. 7, 8, 9 그리고 10을 通하여 S45C, Ni, Cu들의 磨耗傾向은 確實한데 Al, Zn, Pb 그리고

Sn의 磨耗量의 微量의 差異는 荷重이나 回轉數가 바뀌므로 溶融點과 化學的인 性質에 關係가 있는 것을 나타내고 있다. S45C와 이들 金屬과의 固溶體形成의 難易性에 對하여 考察해 보면 S45C와 S45C는 같은 金屬이기 때문에 어떤 比率로도 融合하며 S45C와 Ni에 對하여 Fig. 11과 같이 되고 어떠한 比率로도 融合해서 固溶體를 만든다.

S45C와 Cu은 Fig. 12에 나타난 바와같이 固溶體가 되는範圍는 化合物도 만들지 않고 Ni에 比해서 固溶하기가 어렵다.

이러한 見地에서 考察해 보면 下部試驗片 S45C의 磨耗量은 相對가 되는 金屬과의 固溶體를

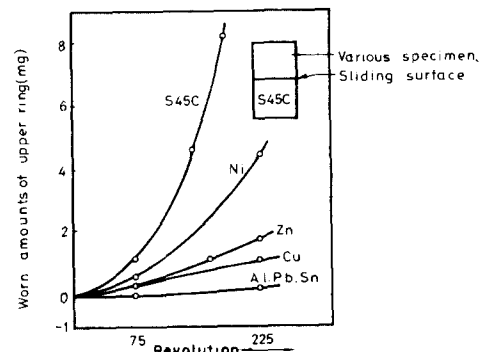


Fig. 10. (A) Worn amounts of various upper rings at load 3kg with sliding speed 20 mm/s

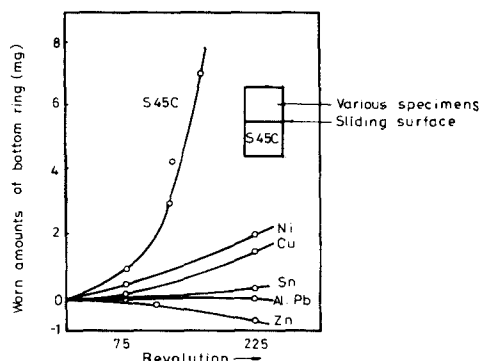


Fig. 10. (B) Worn amounts of bottom rings contacting with various upper rings at load 3kg with sliding speed 20mm/s

만들기 쉬운順序로 되어 있음을 알 수 있다.

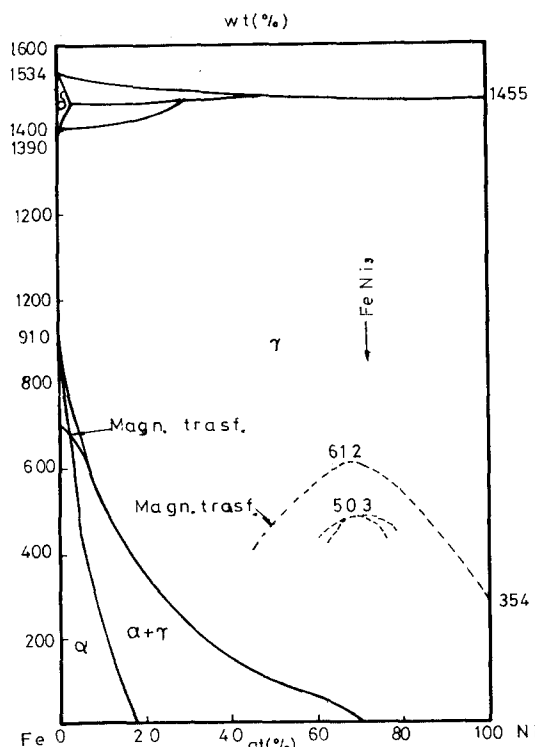


Fig. 11. Ni-Fe equilibrium diagram

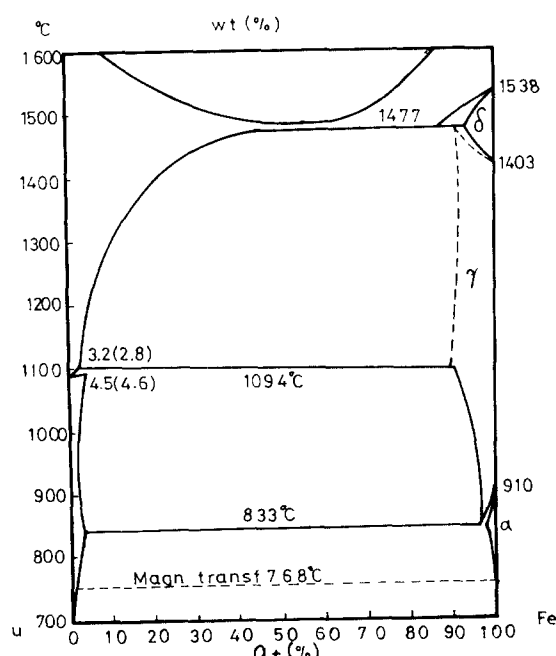


Fig. 12. Cu-Fe equilibrium diagram

5.2. 下部試驗片을 銅으로 한 各種金屬과의 組合에 依한 磨耗

下部에 銅 試驗片을 끼우고 上부에 各種金屬을 摩擦시켜 實驗한 結果는 다음과 같다.

銅은 面心立方結晶을 가지는 金屬이며 Al, Pb 등도 또한 面心立方 結晶을 갖는 金屬이므로 서로 固溶되기 쉬운 것은 格子常數가 가까운 數值 일수록 더 좋을 것으로 생각하여 이들 面心立方格子를 갖는 金屬의 磨耗試驗을 하고 格子常數의 關係를 調査했다.

格子常數는 Cu가 3.6147Å, Al이 4.0496Å, Pb가 4.9502Å이므로 銅에 대하여 固溶하기 쉬운順序는 Cu, Al, Pb의 順이다. 따라서 磨耗도 이順序와 一定한 關係가 있을 것이다. 溶融點은 銅이 1083°C, 알루미늄이 658°C, 鉛이 315°C이다.

Fig. 13 및 14는 미끄럼 속도가 263mm/S때의 下部에 銅 試驗片을 끼웠을 때의 磨耗試驗 結果이며 回轉數와 磨耗量과의 關係를 나타냈다. Fig. 13은 荷重이 1kg때이며 下部試驗片 銅에 對해서 보면 相對가 되는 金屬에 따라서 磨耗量이 틀리며 銅과 銅의 組合일 때가 가장 磨耗量이 많으며 Al과 짜이 지울 때가 훨씬 적고, Pb와 짜이 될 때가 거의 磨耗하지 않고 있음을 알 수 있다. 上부試驗片의 磨耗量을 보면 Cu, Al, Pb의 順으로 적어지고 있다. 이와 같은 結果가 되는 것은 破壞에 對한 抗力의 差異도 包含되어 있으리라 생각된다.

Fig. 14는 荷重이 2kg일 때이다. 下部 試驗片 即 銅의 磨耗量을 보면 上부試驗片이 銅일 때의 磨耗量이 가장 많고 다음이 Al와의 組合일 때 그 다음이 Pb와의 組合일 때이며 Pb와의 組合일 때 下部 銅 試驗片을 거의 磨耗되지 않고 있다. 上部 試驗片의 磨耗量은 Al, Cu, Pb의 順으로 나타났는데 荷重이 1kg때와는 Al, Cu의 順序가 바뀐 것 외는 비슷한 傾向이다. 上部試驗片의 磨耗順序가 Al와 Cu가 荷重이增加함에 따라서 바뀐 것은 Cu의 溶融點이 1083°C이고 Al의 溶融點

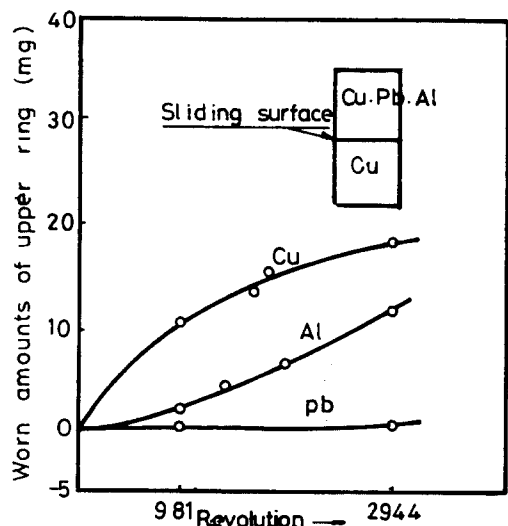


Fig. 13. (A) Worn amounts of various upper rings at load 2kg with sliding speed 263 mm/s

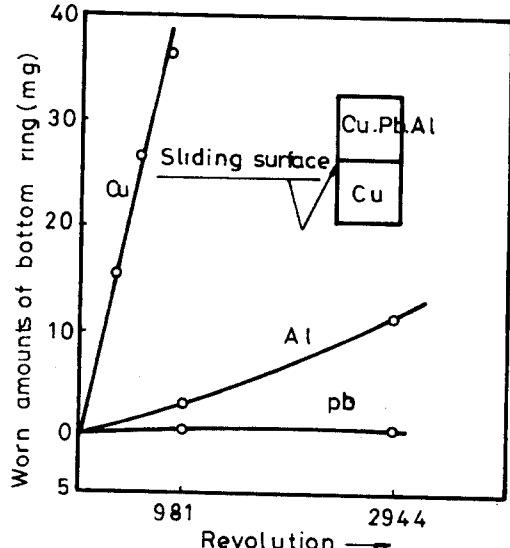


Fig. 13. (B) Worn amounts of bottom rings contacting various upper rings at load 1kg with sliding speed 263 mm/s

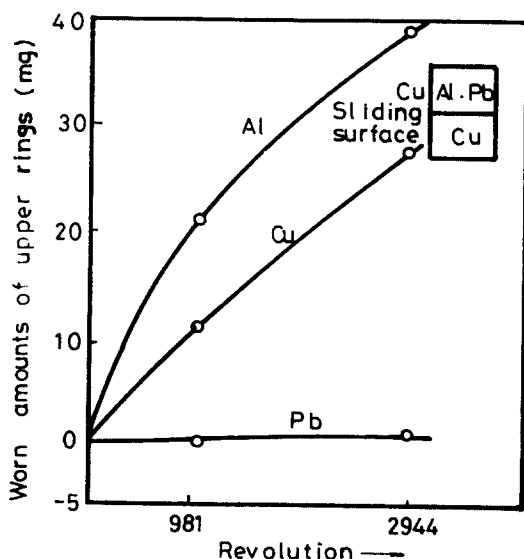


Fig. 14. (A) Worn amounts of various upper rings at load 2kg with sliding speed 263 mm/s

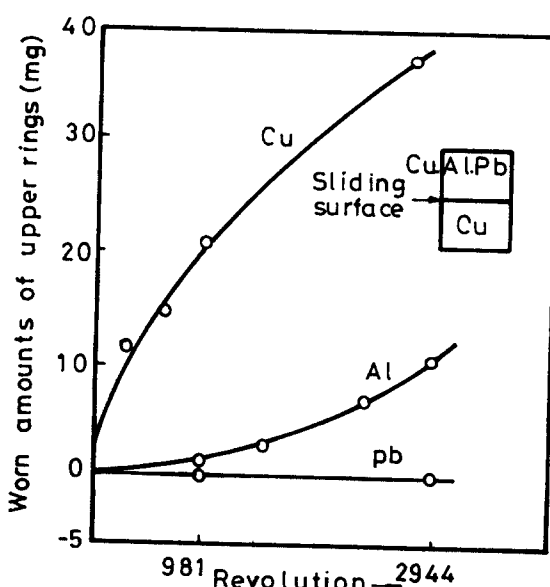


Fig. 14. (B) Worn amounts of bottom rings contacting with various upper rings at load 2kg with sliding speed 263 mm/s

이 658°C이므로 摩擦時に 鍛接되었던 것이 미끄럼으로 떨어져 나갈때의 抗力의 差 때문이 아닌가 推測된다.

回轉速度가 높은 25mm/S때에 대해서 實施한

實驗結果는 Fig. 15 및 16에 나타나 있다.

Fig. 15은 荷重이 1kg짜이며 下部試驗片 Cu의 磨耗量을 보면 上부가 銅 即 같은 銅끼리의 組合일 때가 磨耗量이 가장 많으며 그 다음이 Pb

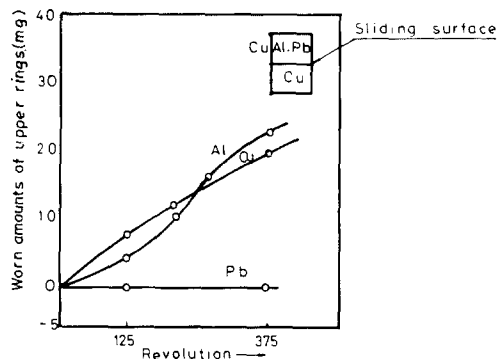


Fig. 15. (A) Worn amounts of various upper rings at load 1kg with sliding speed 25 mm/s

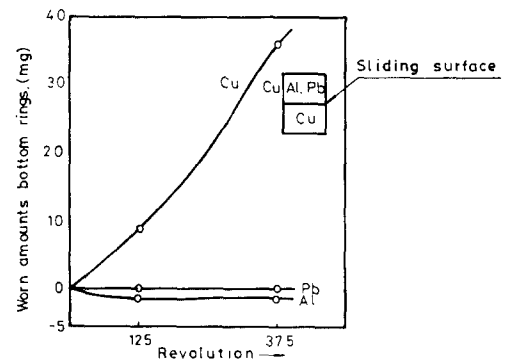


Fig. 15. (B) Worn amounts of bottom rings contacting with various upper rings at load 1kg with sliding speed 25mm/s

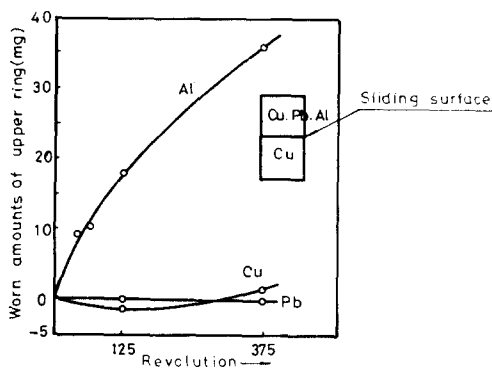


Fig. 16. (A) Worn amounts of various upper rings at load 2kg with sliding speed 25mm/s

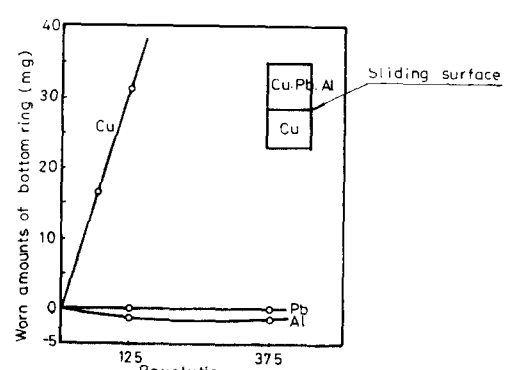


Fig. 16. (B) Worn amounts of bottom rings contacting with various upper rings at load at same above

이 고 上부試驗片이 Al일 때는 Al가 下부 銅試驗片에 붙어 重量이 增加된다. 이 結果는 摩擦에 依하여 金屬은 粘着하는 것을 나타낸다. 같은 條件으로 Pb 上부試驗片이 짹이 될 때는 下부 銅試驗片은 重量變化가 없이 磨耗하지 않았다.

Fig. 16은 荷重이 2kg일 때이다. 荷重이 1kg일 때와 비슷한 傾向이고 下부 銅試驗片의 磨耗를 보니 같은 銅일 때가 磨耗가 가장 많고 Al와 짹일 때 荷重이 1kg일 때와 같이 銅試驗片의 重量이 增加했다. Pb와 짹일 때도 磨耗가 거의 비슷한 傾向이고 磨耗되지 않았고 있다.

以上의 實驗結果에서 Cu에 Cu, Al, Pb를 摩擦시켰을 때 같은 Cu를 서로 摩擦시켰을 때가 가

장 磨耗가 크고 다음이 Al, Pb와 摩擦시켰을 때는 Cu는 거의 磨耗되지 않고 있다는 것이 밝혀졌다.

이 結果를 結晶格子常數의 熔融點의 關係로 考察하면 Cu, 3.6147Å, A 14.0496Å, Pb 4.9502Å 이기 때문에 같은 結晶構造이면 格子常數가 가까운 것 일수록 摩擦時에 磨耗되기 쉽다는 結論을 얻을 수 있다

5.3. 下部試驗片을 Al로 했을 때의 各種 金屬과의 組合에 依한 磨耗

下部 試驗片을 Cu로 하여 各種 金屬에 對하여 實驗한 것과 같은 생각으로 Al試驗片을 만들어

서 面心立方結晶을 갖는 金屬과의 磨耗試驗을 했다.

Al은 面心立方格子를 가지며 그 格子常數는 Cu보다 크고 Pb보다는 작다. 그러므로 格子常數가 가까울수록 磨耗量이 많다고 하면 磨耗量은 Al, Cu, Pb의 順으로豫想이 된다.

Fig. 17 및 Fig. 18은 미끄럼속도를 263mm/S로 荷重이 1kg, 2kg때의 結果이다. Fig. 17의

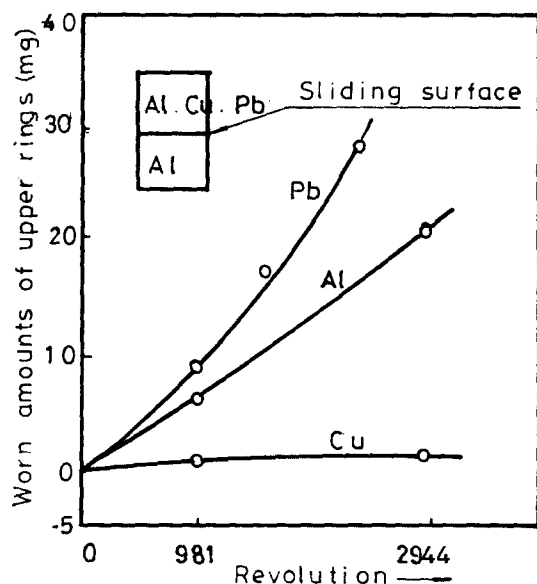


Fig. 17. (A) Worn amounts of various upper rings at load 1kg with sliding speed 263 mm/s

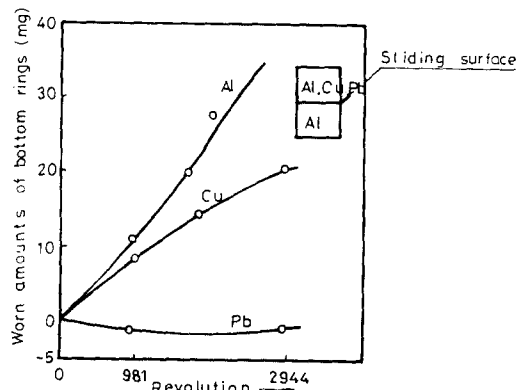


Fig. 17. (B) Worn amounts of bottom rings contacting with various upper rings at same above

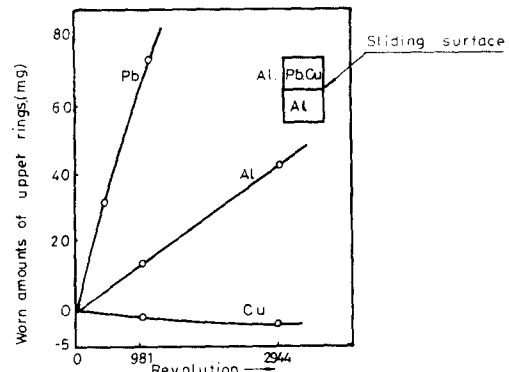


Fig. 18. (A) Worn amounts of various upper rings at load 2kg with sliding speed 263mm/s

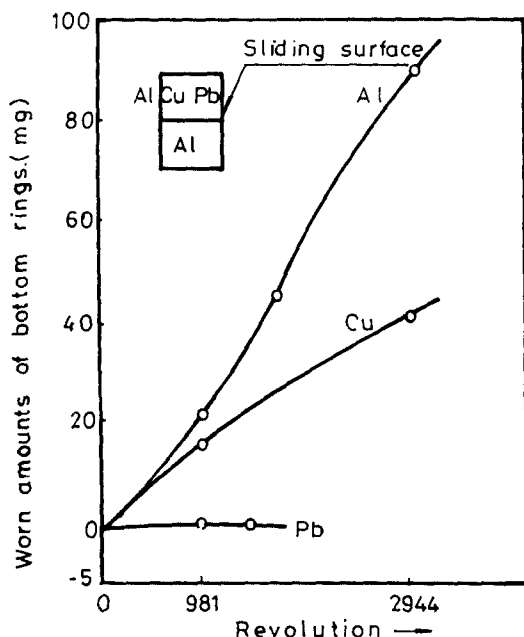


Fig. 18. (B) Worn amounts of bottom rings contacting with various upper rings at same above.

下部 Al 試驗片의 磨耗를 보면 相對가 Al일 때가 磨耗量이 가장 많은 것은 S45C, Cu일 때와 같고, Cu試驗片이 그 다음이고 Pb試驗片일 때는 Pb가 Al에 붙어서 下部 Al試驗片의 重量을增加시킨다. 荷重이 2kg인 때의 Fig. 18을 보면 下部 試驗片의 磨耗가 相對인 試驗片이 Al, Cu, Pb의 順으로 下部試驗片이 磨耗되고 있다. 上部試驗

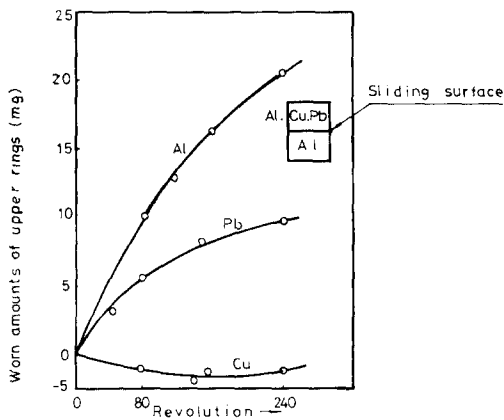


Fig. 19. (A) Worn amounts of various upper rings at load 1kg with sliding speed 20 mm/s.

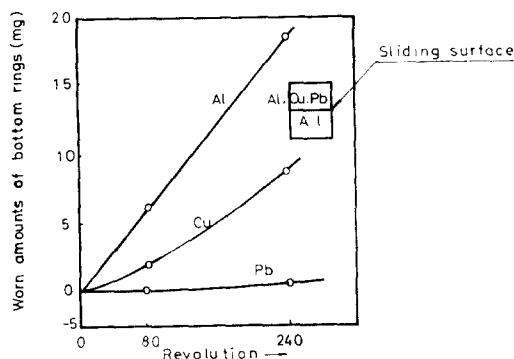


Fig. 19. (B) Worn amounts of bottom rings contacting with various upper rings at same above

片의 磨耗를 보면 磨耗의 大小의 順이 Pb, Al, Cu이다. 이것은 摩擦速度, 熔融點, 化學的性質其他의 充分히 說明할 수 있는 因子가 있는 것으로 思慮되며 더 많은 研究가 必要한 것으로 생각된다.

다음에는 摩擦速度가 20mm/S로서 같은 實驗을 했다.

Fig. 19는 荷重이 1kg의 結果이며 Fig. 20은 荷重이 2kg때의 結果이다. 摩擦速度가 263mm/S 때와 같이 下部 Al 試驗片의 磨耗는 上部試驗片이 Al때가 磨耗量이 最大이고 Cu, Pb의 順으로 接어지고 있다. 下部試驗片의 磨耗는 Al, Pb,

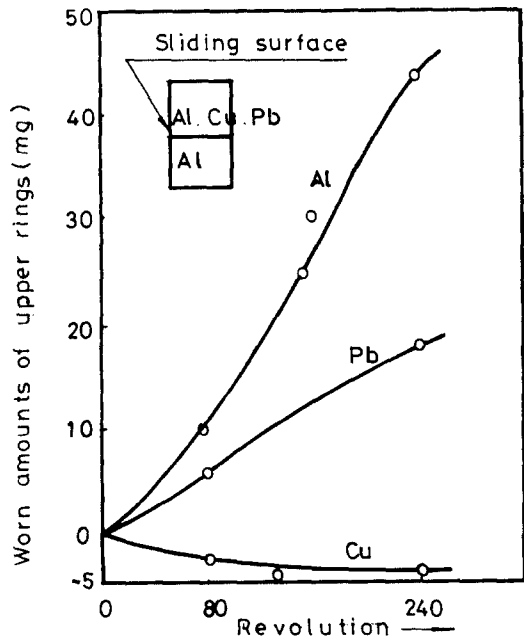


Fig. 20. (A) Worn amounts of various upper rings at load 2kg with sliding speed 20 mm/s

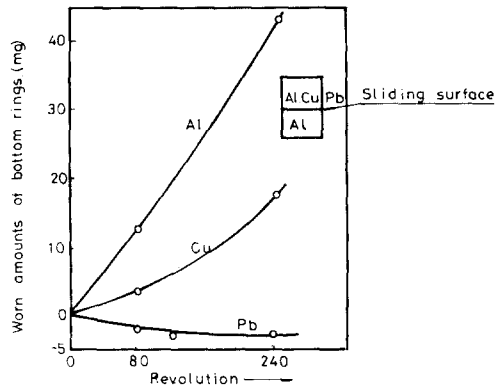


Fig. 20. (B) Worn amounts of bottom rings contacting with various upper rings at same above

Cu의 順이다.

S45C, 혹은 Cu 下部試驗片일때는 Pb는 거의 磨耗하지 아니 했는데 Al下部試驗片과의 組合일 때 磨耗하는 것은 格子常數의 差가 적게 되는 性質이 S45C, Cu보다 가깝기 때문일 것이다.

以上의 實驗에서 알루미늄에 對해서도 熔融點

만으로는 充分히 說明이 안되고 格子常數가 가까운 것일수록 磨耗를 많이 한다고 說明할 수가 있다.

6. 實驗結果의 考察

以上의 實驗을 綜合하여 보면 磨耗는 接觸되는 金屬에 따라서 많이 다르며 摩擦面의 突起部의 機械的 破壞에 依하여 일어나는 機構만으로는 說明이 不充分하다.

硬度가 큰 것은 磨耗가 적다.¹¹⁾ 脆性이 큰 것은 磨耗量이 크다.¹²⁾ 또 가스浸硫室化處理하면 耐磨耗性이 크다¹³⁾等의 性質도 耐磨耗性을 決定하는 重要한 因子이나 이것만으로서는 完全치는 못한 것 같다.

P. F. Bowden이 主張했듯이 熔融點에 對해서는 特히 注意해야 할 點이며 相對金屬의 種類에 關係없이 熔融溫度가 磨耗의 性質을 決定 짓는 因子¹⁴⁾라고 한 說도 完全한 說明은 못되는 것 같다.

어떤 두 金屬이 接合함에는 相互金屬이 반듯이 熔融될 必要는 없는 것이며 熔融點의 1/3程度에서도 金屬表面의 原子擴散이 일어나게 되며¹⁵⁾ 摩擦熱이 發生하면서 接觸金屬은 熔着이 되는 것이다.

固熔될 수 있는 金屬의 接觸일지라도 磨耗는 熔着을 해서 다음 瞬間에 떨어져 나가면서 비로소 磨耗가 始作된다.

本 實驗은 荷重이 增加하면 磨耗量이 增加하고 摩擦距離가 크면 磨耗量이 크다는 J. T. Burwell과 C. D. Strang의 實驗結果¹⁶⁾와 一致되고 있는 것을 보여준다.

P. F. Bowden 및 T. P. Hughes는 研磨의 研究에서 研磨粉의 熔融溫度는 研磨되는 物體의 熔融溫度보다 높아야 한다¹⁷⁾고 報告하고 있다.

研磨도 磨耗의 一種이고, 研磨粉은 非金屬物質이 使用되는 것이 普通이므로 研磨되는 物質과 둘이 붙지 않으므로 熔着磨耗가 아닌 것이다. 故로 熔融溫度는 熔着磨耗가 아닌 磨耗에서는 重要한 因子가 될 수 있어도 熔融溫度로서는 說明이 充分히 안되는 磨耗現象은 金屬과 金屬의 接觸에 依한 熔着現象에서 많이 볼 수 있다.

實際問題로서 베아링이 타는 경우에는 固溶體形成에 關係가 깊을 것으로 생각된다. 베아링에는 鋼軸에 對하여 鑄鐵의 베아링을 많이 使用하고 있으나 鋼의 베아링을 使用하지 않고 있다. 鑄鐵은 黑煙組織이 있으므로 普通의 金屬과는 달라서 鋼에 對해서 鋼보다 粘着하기가 어렵다. 이것이 鋼軸의 베아링으로 鑄鐵을 使用하고 있는理由의 하나가 된다. 또 最近에 磨耗防止를 위하여 그 한 方法으로 酸化皮膜¹⁸⁾을 만드는 것이 있는데 이事實이 磨耗라고 하는 것은 들어 볼기 때문에 일어난다는 것을 立證하고 있다. 即 酸化皮膜이 摩擦面에 密着되어 있으면 相對金屬에 直接 接觸할 수가 없고 다시 말하면 固溶體形成을 못하기 때문이 아닐까 생각되어 따라서 磨耗가 되지 않는 것이라고 說明 할 수가 있다.

磨耗가 摩擦面의 突起部가 서로 맞 물려 熔着하지 않고 機械的으로만 破壞가 일어나는 것이라면 酸化皮膜은 磨耗防止의 効果가 없을 것이다.

7. 結論

炭素鋼, 닉켈, 銅, 알루미늄, 亞鉛, 銨 그리고 朱錫 等의 異種 金屬을 組合하여 각각의 磨耗特性를 調査한 結果 다음과 같은 結論을 얻었다.

- 1) 相互摩擦에서 일어나는 金屬의 磨耗量은 接觸金屬이 같은 金屬일 때 가장 많다.
- 2) 摩擦이 일어나는 경우 接觸金屬과의 사이에 固溶體가 形成되기 쉬울수록 磨耗量이 많으며 어려울수록 磨耗量이 적다.
- 3) 다른 金屬間의 摩擦에서 생기는 磨耗量은 두 金屬이 서로 같은 結晶構造를 가지고 格子常數가 가까운 金屬일 때 磨耗量이 많다.

參考文獻

- 1) J. T. Burwell: Report of S. A. E., New York, p. 7(1942)
- 2) P. F. Bowden and A. C. Moore, Trans.

- Faraday Soc. 47, 900(1951)
- P. F. Bowden and Blackwood, Proc. Roy. Soc. A213, 285(1952)
- 3) P. F. Bowden and D. Tabor: The friction and lubrication of Solids, Oxford(1954) 曾田譯 丸善(株) 東京 p. 58~60(1982)
- 4) 前掲書(3) p. 54
- 5) W. Hume-Rothery: Electrons, Atoms, Metals, and Alloys, New York, p. 315(1971)
- 6) 住本誠治: 船發會報 住本研究所 第162號 別冊 p. 5 東京(1962)
- 7) 前掲書(3) p. 27
- 8) 田中良平: 極限に挑む 金屬材料, 工業調査局 東京, p. 147~148(1979)
- 9) A. S. M: Heat Treating, Cleaning and Finishing, Ohio, p. 271~292 (1964)
- 10) 前掲書(3) p. 271
- 11) W. Einlender: Archiv. f. d. E. H. W., p. 61 (1935)
- 12) H. Meyer: Archiv. f. d. E. H. W., 501, p. 9 ~10(1937)
- 13) Osamu Momose and Sosuke Uchida: Wear of Gas Nitrosulfurized Alloy, J. Japan Inst. Metal, Vol. 45 No. 7, p. 718~722(1981)
- 14) P. F. Bowden & T. P. Hughes: idid, A171, 280 p. 55(1939)
- 15) 磯谷彰男, 中島耕一: 金屬 Vol. 43, No. 7 July p. 40(1979)
- 16) J. T. Burwell & C. D. Strang: Proc. Roy. Soc. A212, 470 p. 282(1952)
- 17) P. F. Bowden & T. P. Hughes: Nature, 130, 152 p. 64(1937)
- 18) A. J. Moore & D. Tabor: C. S. I. R. Tribophysics Division, Report A. 46 p. 273(1942)